

感应子发电机气隙磁导的分析

叶剑秋

(郑州大学机械与电气工程系 郑州 450052)

摘要 为了解感应子发电机内部的电磁过程及其参数的计算方法,需要对其磁路进行理论分析与研究.本文根据脉振磁场理论,对定、转子具有不等齿距(整数与非整数倍)及分数槽古典式齿层结构的气隙磁导进行分析,导出计算公式,可供设计和研究人员参考.

关键词 发电机;感应子;气隙磁导

中图分类号 TM 301.3

0 引言

感应子发电机广泛应用于各种工业装置及国防装备中.不少文献促进了其理论的发展,对感应子发电机内部电磁物理过程的分析一般有两种方法,即脉振磁场理论和旋转磁场理论.这两种分析方法的实质一样,只是应用范围不同.因此,分析感应子发电机,应根据不同的结构型式,分别采用不同的分析方法.本文依据脉振磁场理论,对分数槽值情况进行研究,它具有一定的实用价值.

1 分析前的假定

1.1 以定子一个齿距内的磁导作为一个基本单元来分析,如图 1

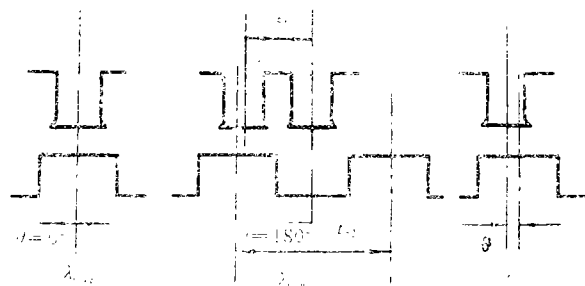


图 1 定子一个齿距内的磁导

来稿时间:1995-04-25

应用代角法可以求出定、转子在任意相对位置时的比磁导,它可以分解成恒定分量与各次谐波分量之和.即

$$\lambda = \lambda_0 + \sum_{\gamma=1}^{\infty} \lambda_{\gamma} \cos \gamma \theta \quad (1)$$

式中 $\theta = \frac{2\pi}{t_{z_2}} x$ 为定、转子齿中心线夹角, x 为定、转子齿中心线距离, t_{z_2} 为转子齿距.

设定子齿中心线同转子齿中心线相重合时有最大磁导 λ_{\max} ,而定子齿中心线同转子槽中心线相重合时有最小磁导 λ_{\min} .

1.2 转子以角速度 ω 旋转,磁导的变化为正弦波形,只考虑基波.

$$\lambda_x = \lambda_0 [1 + \epsilon_1 \cos \theta] \quad (2)$$

式中 $\theta = \omega t + \theta_0$; $\epsilon_1 = \lambda_1 / \lambda_0$ 为基波磁导比例系数; $\lambda_1 = (\lambda_{\max} - \lambda_{\min}) / 2$ 为气隙磁导基波分量; $\lambda_0 = (\lambda_{\max} + \lambda_{\min}) / 2$ 为气隙磁导恒定分量.

$$\lambda = \lambda_{\max} = \lambda_0 (1 + \epsilon_1), \quad \text{当 } \theta = 0^\circ \text{ 时} \quad (3)$$

$$\lambda = \lambda_{\min} = \lambda_0 (1 - \epsilon_1), \quad \text{当 } \theta = 180^\circ \text{ 时} \quad (4)$$

2 气隙磁导公式的推导

对古典式齿层结构的感应子发电机,为构成三相对称绕组,其分数槽值应符合[1].

$$q = 1/K, \quad (K \neq 3K_0, K_0 = 1, 2, 3, \dots)$$

即除去 3 及 3 的倍数外,任何自然数均可做分数槽值的分母,即

$$q = 1/2, 1/4, 1/5, 1/7, 1/8, \dots$$

而有实用价值,能够采用的分数值仅为 1/2 与 1/4. 故以下仅讨论这两种情况.

2.1 $q=1/2$ 时

在一个转子齿距(一对极)内的定子齿数

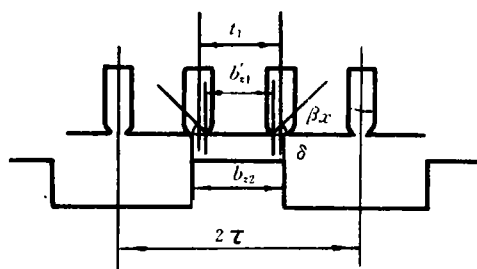
$$Z_1 = 2mqZ_2 = 2 \times 3 \times (1/2) \times 1 = 3$$

式中 Z_2 为转子齿数; m 为相数; q 为每极每相槽数.

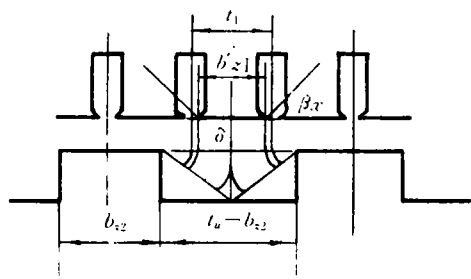
A. 最大气隙磁导 λ_{\max} (在一个定子齿距内)如图 2.

$$\begin{aligned} \lambda_{\max} &= 0.4\pi l \times 10^{-8} \left[\frac{b'_{z1}}{\delta} + 2 \int_0^{\frac{1}{2}(t_1 - b'_{z1})} \frac{dx}{\delta + \beta x} \right] \\ &= 0.4\pi l \times 10^{-8} \left[\frac{b'_{z1}}{\delta} + 2 \left(\frac{1}{\beta} \right) \ln(\delta + \beta x) \right]_0^{\frac{1}{2}(t_1 - b'_{z1})} \\ &= 0.4\pi l \times 10^{-8} \left\{ \frac{b'_{z1}}{\delta} + \left(\frac{2}{\beta} \right) \ln \left[1 + \frac{\beta}{2\delta} (t_1 - b'_{z1}) \right] \right\} \end{aligned} \quad (5)$$

B. 最小气隙磁导 λ_{\min} (一个定子齿距内)如图 3


 图 2 $q=1/2$ 时,定子一个齿距内的磁导(定、转子齿中心线相重合时)

$$\beta=1\sim 1.1; \frac{b'_{r1}}{\delta} \leq 10 \text{ 时, } \beta=1; \frac{b'_{r1}}{\delta} > 10 \text{ 时, } \beta=1.1$$


 图 3 $q=1/2$ 时,定子一个齿距内的磁导(定子齿中心线与转子槽中心线相重合时)

$$\begin{aligned} \lambda_{\min} &= 0.4\pi l \times 10^{-8} \times 2 \left\{ \int_0^{\frac{b'_{r1}}{2}} \frac{dx}{\delta + [\frac{1}{2}(t_2 - b_{s2}) - x]\beta} \right. \\ &\quad \left. + \int_0^{\frac{1}{2}(t_1 - b'_{r1})} \frac{dx}{\delta + \beta x + \beta[\frac{1}{2}(t_2 - b_{s2}) - (\frac{1}{2}b_{r1} + x)]} \right\} \\ &= 0.8\pi l \times 10^{-8} \left\{ \left(-\frac{1}{\beta} \right) \ln \left[\delta + \frac{t_2 - b_{s2}}{2} - x \right] \beta \right|_0^{\frac{1}{2}b'_{r1}} \\ &\quad + \frac{x}{\delta + \frac{\beta}{2}[t_2 - (b'_{r1} + b_{s2})]} \right|_0^{\frac{1}{2}(t_1 - b'_{r1})} \left\{ \right. \\ &= 0.8\pi l \times 10^{-8} \left\{ \frac{t_1 - b'_{r1}}{2\delta + \beta[t_2 - (b'_{r1} + b_{s2})]} - \left(\frac{1}{\beta} \right) \ln \left[1 - \frac{\beta b'_{r1}}{2\delta + \beta(t_2 - b_{s2})} \right] \right\} \quad (6) \end{aligned}$$

2.2 $q=1/4$ 时

在一个转子齿距(一对极)内的定子齿数

$$Z_1 = 2mqZ_2 = 2 \times 3 \times (1/4) \times 1 = 3/2$$

A'. 最大气隙磁导 λ_{\max} (在一个定子齿距内) 如图 4.

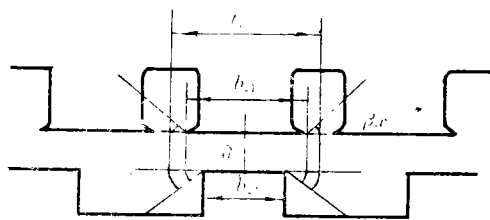


图 4 $q=1/4$ 时, 定子一个齿距内的磁导(定、转子齿中心线相重合时)

$$\begin{aligned}
 \lambda_{\max} &= \mu_0 l \left[\frac{b_{z2}}{\delta} + 2 \int_0^{\frac{1}{2}(b'_{z1}-b_{z2})} \frac{dx}{\delta + \beta x} + 2 \int_0^{\frac{1}{2}(t_1-t'_{z1})} \frac{dx}{\delta + \beta x + (x + \frac{b_{z1}}{2} - \frac{b_{z2}}{2})\beta} \right] \\
 &= \mu_0 l \left\{ \frac{b_{z2}}{\delta} + \frac{2}{\beta} \ln(\delta + \beta x) \Big|_0^{\frac{1}{2}(b'_{z1}-b_{z2})} + 2 \int_0^{\frac{1}{2}(t_1-t'_{z1})} \frac{dx}{\delta + [\frac{1}{2}(b'_{z1}-b_{z2}) + 2x]\beta} \right\} \\
 &= \mu_0 l \left\{ \frac{b_{z2}}{\delta} + \frac{2}{\beta} \ln \frac{\delta + \frac{\beta}{2}(b'_{z1}-b_{z2})}{\delta} + \frac{2}{\beta} \ln \left[\delta + \frac{\beta}{2}(b'_{z1}-b_{z2}) + 2\beta x \right] \Big|_0^{\frac{1}{2}(t_1-t'_{z1})} \right\} \\
 &= \mu_0 l \left\{ \frac{b_{z2}}{\delta} + \frac{2}{\delta} \ln \left[1 + \frac{\beta}{2\delta}(b'_{z1}-b_{z2}) \right] + \frac{1}{\beta} \ln \left[\frac{\delta + \frac{1}{2}(b'_{z1}-b_{z2})\beta + (t_1-b'_{z1})\beta}{\delta + \frac{1}{2}(b'_{z1}-b_{z2})\beta} \right] \right\} \\
 &= \mu_0 l \left\{ \frac{b_{z2}}{\delta} + \frac{2}{\delta} \ln \left[1 + \frac{\beta}{2\delta}(b_{z1}-b_{z2}) \right] + \frac{1}{\beta} \ln \left[1 + \frac{2(t_1-b'_{z1})}{\frac{2}{\beta}\delta + (b'_{z1}-b_{z2})} \right] \right\} \\
 &= 0.4\pi l \times 10^{-8} \left\{ \frac{b_{z2}}{\delta} + \frac{2}{\beta} \ln \left[1 + \frac{\beta}{2\delta}(b'_{z1}-b_{z2}) \right] + \frac{1}{\beta} \ln \left[1 + \frac{2(t_1-b'_{z1})}{\frac{2}{\beta}\delta + (b'_{z1}-b_{z2})} \right] \right\} \quad (7)
 \end{aligned}$$

B'. 最小气隙磁导 λ_{\min} (在一个定子齿距内) 如图 5.

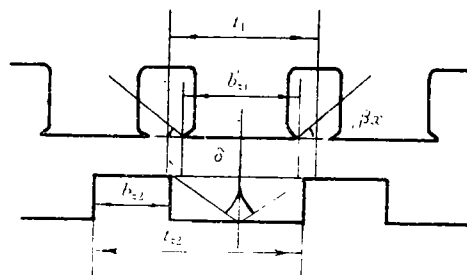


图 5 $q=1/4$ 时, 定子一个齿距内的磁导(定子齿中心线与转子槽中心线相重合时)

$$\begin{aligned}
\lambda_{\min} &= 2\mu_0 l \left\{ \int_0^{b_{s1}'/2} \frac{dx}{\delta + (\frac{b_{s2}}{2} - x)\beta} + \int_0^{(b_{s2}-b_{s1}')/2} \frac{dx}{\delta + \beta x + [\frac{1}{2}(b_{s2} - b_{s1}') - x]\beta} \right. \\
&\quad \left. + \int_0^{\frac{1}{2}(t_1-b_{s2})} \frac{dx}{\delta + [\frac{1}{2}(b_{s2} - b_{s1}') + x]\beta} \right\} \\
&= 2\mu_0 l \left\{ \left(-\frac{1}{\beta}\right) \int_0^{b_{s1}'/2} \frac{d(-\beta x)}{\delta + (b_{s2}/2 - x)\beta} + \int_0^{(b_{s2}-b_{s1}')/2} \frac{dx}{\delta + \frac{\beta}{2}(b_{s2} - b_{s1}')} \right. \\
&\quad \left. + \int_0^{\frac{1}{2}(t_1-b_{s2})} \left(\frac{1}{\beta}\right) \frac{d(\beta x)}{\delta + [\frac{1}{2}(b_{s2} - b_{s1}') + x]\beta} \right\} \\
&= 2\mu_0 l \left\{ \left(-\frac{1}{\beta}\right) \ln \left[\delta + \frac{1}{2}(b_{s2} - 2x)\beta \right] \Big|_0^{b_{s1}'/2} + \frac{x}{\delta + \frac{\beta}{2}(b_{s2} - b_{s1}')} \Big|_0^{\frac{1}{2}(b_{s2}-b_{s1}')} \right. \\
&\quad \left. + \left(\frac{1}{\beta}\right) \ln \left[\delta + \frac{\beta}{2}(b_{s2} - b_{s1}') + \beta x \right] \Big|_0^{\frac{1}{2}(t_1-b_{s2})} \right\} \\
&= 2\mu_0 l \left\{ \left(-\frac{1}{\beta}\right) \ln \left[\frac{\delta + \frac{\beta}{2}b_{s2} - \frac{\beta}{2}b_{s1}'}{\delta + \frac{\beta}{2}b_{s2}} \right] + \left[\frac{(b_{s2} - b_{s1}')}{2\delta + \beta(b_{s2} - b_{s1}')} \right] \right. \\
&\quad \left. + \left(\frac{1}{\beta}\right) \ln \left[\frac{\delta + \frac{\beta}{2}(b_{s2} - b_{s1}') + \frac{\beta}{2}(t_1 - b_{s2})}{\delta + \frac{\beta}{2}(b_{s2} - b_{s1}')} \right] \right\} \\
&= 2\mu_0 l \left\{ \left(-\frac{1}{\beta}\right) \ln \left[1 - \frac{\beta b_{s1}'}{2\delta + \beta b_{s2}} \right] + \left[\frac{(b_{s2} - b_{s1}')}{2\delta + \beta(b_{s2} - b_{s1}')} \right] \right. \\
&\quad \left. + \left(\frac{1}{\beta}\right) \ln \left[1 + \frac{\beta(t_1 - b_{s2})}{2\delta + \beta(b_{s2} - b_{s1}')} \right] \right\} \\
&= 0.8\pi l \times 10^{-8} \left\{ \left[\frac{b_{s2} - b_{s1}'}{2\delta + \beta(b_{s2} - b_{s1}')} \right] \right. \\
&\quad \left. + \left(\frac{1}{\beta}\right) \ln \left[1 + \frac{t_1 - b_{s2}}{2\delta + \beta(b_{s2} - b_{s1}')} \right] - \left(\frac{1}{\beta}\right) \ln \left[1 - \frac{b_{s1}'}{2\delta + \beta b_{s2}} \right] \right\} \quad (8)
\end{aligned}$$

式中 b_{s2} —转子槽宽。

3 结束语

3.1 依据脉振磁场理论,采用代角法,对定、转子具有不等齿距,及分数槽值的古典式齿层结构的感应子发电机的气隙磁导进行分析,可求出定、转子在任意相对位置时的比磁导.并可将它们分解成恒定分量及各次谐波分量之和.如仅考虑其中的基波时,则恒定分量与基波分量又可分别用最大气隙磁导 λ_{\max} ,及最小气隙磁导 λ_{\min} 的和及差来计算.

3.2 分别对分数槽值 $q=1/2$ 时及 $q=1/4$ 时的气隙磁导公式 λ_{\max} 及 λ_{\min} 进行了推导.导出的公式可供设计、研究时参考、应用.

参 考 文 献

- 1 王宗培. 具有分数槽值($q=1/2$)绕组的三相异极式感应子发电机电势波形问题. 大电机, 1964, 5
- 2 叶剑秋. 分数槽感应子发电机磁路的分析与计算. 中南、西南八省区电工学术讨论会论文集, 1984, 7
- 3 Pohl R. Theory of Pulsing Field Machines. JIEE. 1946, 93, I (3)
- 4 哈尔滨工业大学, 成都电机厂. 步进电动机. 北京: 科学出版社. 1979

AIR-GAP MAGNETIC CONDUCTANCE OF INDUCTOR GENERATOR

Ye Jianqiu

(*Department of Electromechanical Engineering, Zhengzhou University*)

Abstract For understanding the electromagnetic process and calculating method of parameter in inductor generator. Based on theory of pulsing field, this paper analyses the air-gap magnetic conductance for stator, rotor with unequal tooth pitch and fractional-slot, classical tooth construction. And presents a calculating formula to the designer and researcher for reference and application.

Key Words generator; inductor; air-gap magnetic conductance